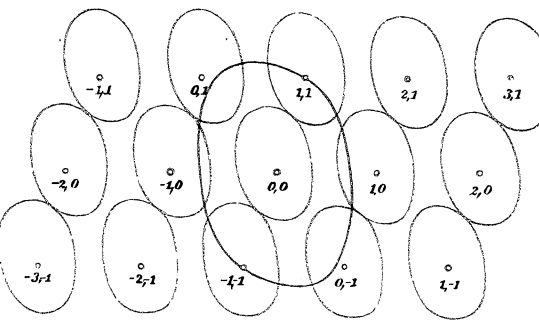


Zur Geometrie der Zahlen.

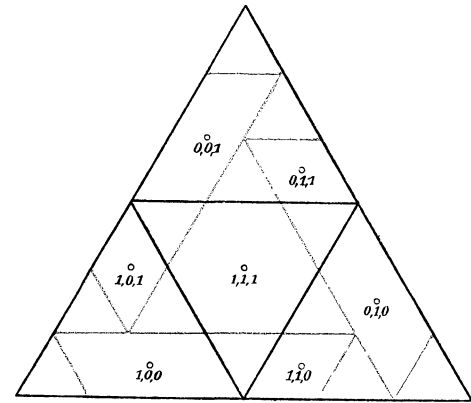
Fig. 1. Zahlengitter und konvexe Kurven.



$f(x, y)$:

- (1) $f(x, y) > 0, x, y \neq 0,0; f(0,0) = 0,$
- (2) $f(tx, ty) = tf(x, y), t > 0,$
- (3) $f(-x, -y) = f(x, y),$
- (4) $f(x_1, y_1) + f(x_2, y_2) \geq f(x_1 + x_2, y_1 + y_2),$
- (5) $f(x, y) \leq 1, \iint dx dy = J;$
- (6) $f(x, y) \leq \frac{2}{\sqrt{J}}.$

Fig. 5. Dichteste Lagerung von Oktaedern.



$$\varphi = -\xi + \eta + \zeta, \chi = \xi - \eta + \zeta, \psi = \xi + \eta - \zeta, \omega = \xi + \eta + \zeta,$$

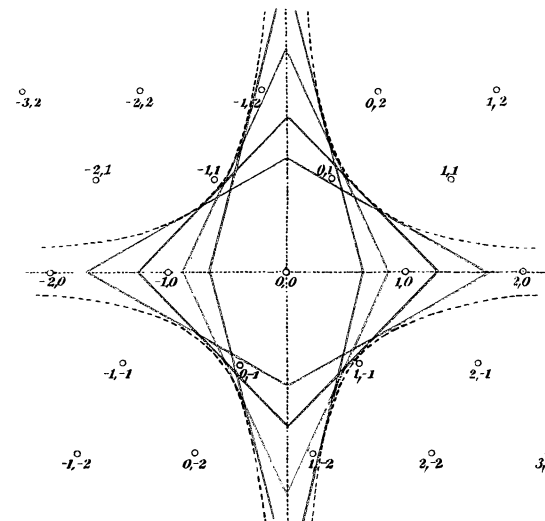
$$(1) \quad \varphi + \chi + \psi + \omega = 0, \text{ Det. } (\xi, \eta, \zeta) = \Delta;$$

$$(2) \quad |\varphi|, |\chi|, |\psi|, |\omega| \leq \sqrt[3]{\frac{108}{19}} \Delta.$$

$$(3) \quad \pm(x - az) \pm \frac{z}{t} = 1, \pm(y - bz) \pm \frac{z}{t} = 1;$$

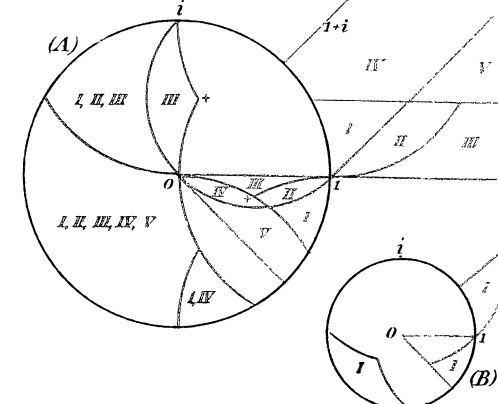
$$(4) \quad \left| \frac{x}{z} - a \right|, \left| \frac{y}{z} - b \right| < \sqrt{\frac{8}{19}} \frac{1}{z^{\frac{3}{2}}}, \left(\sqrt{\frac{8}{19}} = 0,648\dots \right)$$

Fig. 2. Diagonalketten.



- (1) $f(z) = c_m z^m + \dots + c_0 + \frac{c_1}{z} + \frac{c_2}{z^2} + \dots$
- (2) $= F_0(z) - \frac{1}{F_1(z)} - \frac{1}{F_2(z)} - \dots;$
- (3) $(P(z) - f(z) Q(z)) Q(z).$
- (4) $\left| \frac{x}{y} - a \right| < \frac{1}{2y^2}, \quad a = g_0 - \frac{1}{g_1} - \frac{1}{g_2} - \dots$
- (5) $\xi = \alpha x + \beta y, \eta = \gamma x + \delta y, \alpha\delta - \beta\gamma = 1;$
- (6) $-\frac{1}{2} < \xi\eta < \frac{1}{2}.$

Fig. 6. Lineare Formen im Körper von $i = \sqrt[4]{1}$.



$$(1) \quad \xi = (\alpha + i\alpha')(x + ix') + (\beta + i\beta')(y + iy'), \text{ Det. } (\xi, \eta) = \Delta;$$

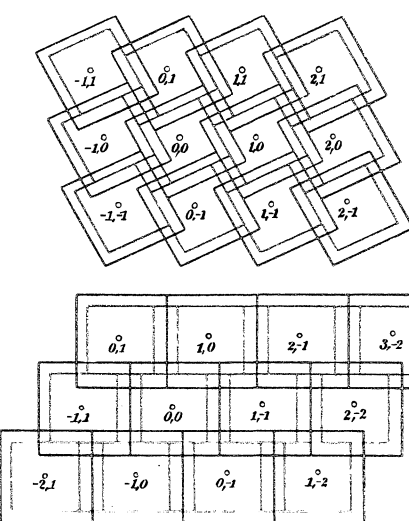
$$(2) \quad \eta = (\gamma + i\gamma')(x + ix') + (\delta + i\delta')(y + iy'),$$

$$(2) \quad \left| \frac{x_1 + ix_1'}{z} + \frac{x_2 + ix_2'}{z} \right|, \quad (3) \quad \xi = \lambda e^{i\varphi} (X + iX' + \varrho(Y + iY')),$$

$$y_1 + iy_1', \quad y_2 + iy_2'$$

$$(4) \quad \left| \frac{x}{z} - a \right|, \left| \frac{y}{z} - b \right| < \sqrt{\frac{8}{19}} \frac{1}{z^{\frac{3}{2}}}, \left(\sqrt{\frac{8}{19}} = 0,648\dots \right)$$

Fig. 3. Inhomogene lineare Ausdrücke.

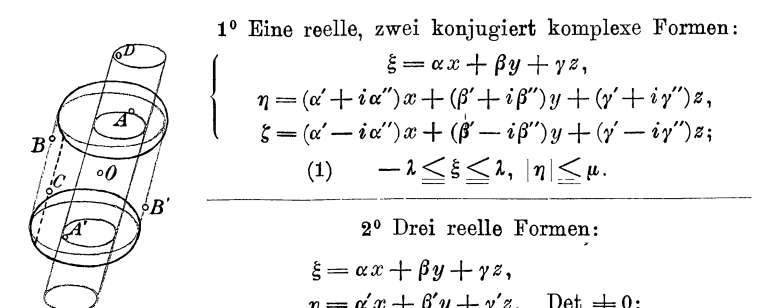


$$(1) \quad |x - ay - b| < \frac{1}{4|y|}.$$

$$(2) \quad \xi = \alpha x + \beta y, \eta = \gamma x + \delta y, \alpha\delta - \beta\gamma = 1;$$

$$(3) \quad |(\xi - \xi_0)(\eta - \eta_0)| < \frac{1}{4}.$$

Fig. 4. Kettenalgorithmen für drei lineare Formen.



1^o Eine reelle, zwei konjugiert komplexe Formen:

$$\begin{cases} \xi = \alpha x + \beta y + \gamma z, \\ \eta = (\alpha' + i\alpha'')x + (\beta' + i\beta'')y + (\gamma' + i\gamma'')z, \\ \zeta = (\alpha' - i\alpha'')x + (\beta' - i\beta'')y + (\gamma' - i\gamma'')z; \end{cases}$$

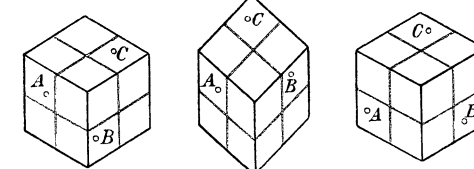
$$(1) \quad -\lambda \leq \xi \leq \lambda, |\eta| \leq \mu.$$

2^o Drei reelle Formen:

$$\begin{cases} \xi = \alpha x + \beta y + \gamma z, \\ \eta = \alpha' x + \beta' y + \gamma' z, \text{ Det.} \neq 0; \\ \zeta = \alpha'' x + \beta'' y + \gamma'' z, \end{cases}$$

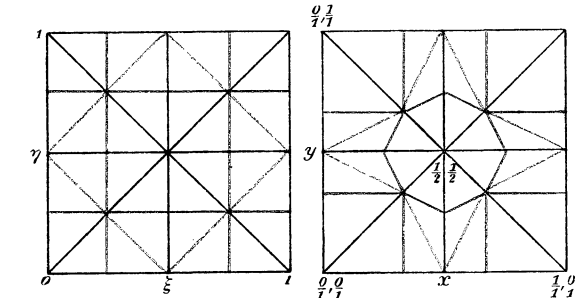
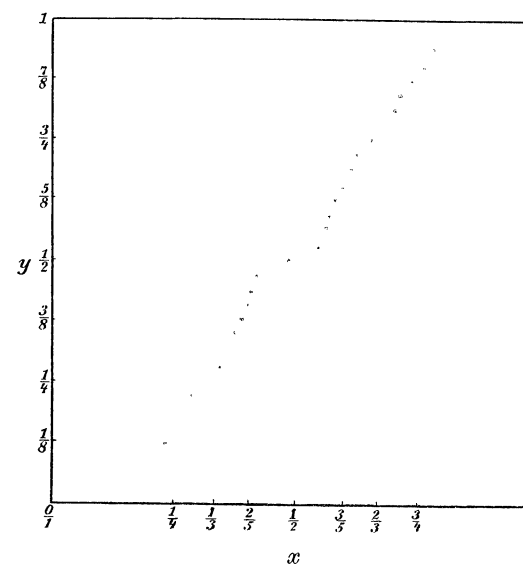
$$(2) \quad |\xi|, |\eta|, |\zeta| \leq \sqrt[3]{|\text{Det.}|}.$$

I II III



$$A + B + C \text{ nicht im Inneren des Parallelipipeds; } A + B - C \text{ nicht im Inneren; } A + B + C = 0.$$

Fig. 7. Kriterium für die reellen quadratischen Irrationalzahlen. Kriterium für die reellen kubischen Irrationalzahlen.



$$\frac{a}{c}, \frac{b}{c} \dots \frac{a+a'}{c+c'}, \frac{b+b'}{c+c'} \dots \frac{a'}{c'}, \frac{b'}{c'},$$

$$(1) \quad \xi = \varphi(x, y), \eta = \psi(x, y).$$

1, x, y unabhängige Zahlen in einem kubischen Körper; ξ, η rational, von den Zahlen $\xi, \eta, \xi - \eta, \xi + \eta$ keine dyadisch.

$$x \text{ quadratische Irrationalzahl, } y \text{ rational und nicht dyadisch;} \\ y = ?(x): \\ x \text{ rational, } y \text{ dyadisch.}$$